

Formatowanie stylami

Styl „treść tekstu”

font szeryfowy (Times New Roman – 12 pkt), zerowe wcięcie przed i po tekście, zerowy odstęp od góry i od dołu, wcięcie pierwszego wiersza „kwadratowe”, automatyczne dzielenie wyrazów, interlinia 1,5-wierszowa, tekst justowany obustronnie, kontrola szwerców i bękartów.

Przykład:

Yoshida i Asuma (2004) scharakteryzowali pola wybranych parametrów w górnej i dolnej atmosferze związane z wystąpieniem bomb w kilku regionach zachodniego Pacyfiku. Niektóre układy niżowe związane były z górną bruzdą o małej amplitudzie i krótkim *jet streak*, inne niżej rozwijały się pod wpływem *jet streak* o dużej rozciągłości równoleżnikowej.

Oprócz określonych sektorów górnej fali i kwadrantów *jet streak*, na dynamikę niżów może wpływać zbieżność (rozbieżność) przepływu w strefie wejścia (delty) prądu. Schultz i in. (1998) wykazali, że niżej rozwijające się pod wpływem dyflucji pod deltą prądu charakteryzują się silnym chłodnym frontem i rozwijają się według modelu norweskiego, a niżej w strefie konfluencji (wejścia prądu) posiadają silny front ciepły i rozwijają się według modelu Shapiro-Keysera (1990; za Barry i Carleton, 2001, s. 455). Oba rodzaje cyklonów różnią się dynamiką.

Style nagłówkowe (tytuły i podtytuły)

font bezszeryfowy (Arial), interlinia pojedyncza, odstęp „przed” do „po” jak 2:1, bez wcięcia akapitowego, tekst wyjustowany do środka (nagłówek 1 i 2) i do lewej (nagłówek 3 i dalsze), zachowuj z następnym akapitem, wielkość czcionki > 12 pkt – w zależności od hierarchii nagłówka (nagłówek 1 – największa czcionka), automatyczna numeracja nagłówków.

Przykład:

1.4. Wpływ prądów strumieniowych na pogodę

1.4.1. Związki górnego przepływu z aktywnością niżów

Model rozwoju niżu na froncie polarnym zaprezentowali Bjerknes i Sølberg (1923). Według tego modelu, rozwój niżu jest wynikiem zamiany energii potencjalnej związanej z poziomymi kontrastami termicznymi na froncie, w energię kinetyczną. Cyklon czerpie energię ruchu obrotowego z obniżania energii potencjalnej aż do fazy okluzji – do tego momentu energia kinetyczna układu zwiększa się. Począwszy od etapu okluzji w ruchach wznoszących zaczyna uczestniczyć także chłodne powietrze przed frontu ciepłego i zza frontu chłodnego.

Styl „tabela”

font bezszeryfowy (Arial – 10 pkt), zachowuj z następnym akapitem, nie dziel akapitów, justowanie do prawej, odstęp od prawej (wcięcie po tekście 0,2 – 0,4cm; dane w tabeli – ta sama liczba cyfr po przecinku; części „po przecinku” oddzielone przecinkiem a NIE kropką), odstęp od góry i od dołu ok. 0,1cm.

Podstyl „tabela-boczek”

połączony ze stylem „tabela”, justowanie do lewej, zerowe wcięcie przed tekstem i po tekście, wytłuszczona czcionka.

Podstyl „tabela-główka”

połączony ze stylem „tabela”, justowanie do środka, zerowe wcięcie przed tekstem i po tekście, wytłuszczona czcionka.

Styl „tabela-podpis” (nad tabelą!)

font bezszeryfowy (Arial – 10 pkt), justowanie do lewej i prawej, ostatni wiersz do środka, zerowe wcięcie przed i po tekście, zerowe wcięcie akapitowe, odstęp „od góry” do „od dołu” jak 2:1 (np. 0,4 cm i 0,2cm), nie dziel akapitów, zachowuj razem z następnym, automatyczna numeracja.

Przykład:

Tabela 4.1

Wartości minimalne (Min) oraz maksymalne (Max) średniej dywergencji nad niżem (D_{NN}) oraz występującej w gridzie najbliższym środka cyklonu (D_{GRD}) na powierzchni 300 hPa [$\times 10^{-6} s^{-1}$]. Statystyki obliczono osobno w próbie wszystkich wystąpień niżów, niżów w fazie cyklogenezy, maksymalnego pogłębiania, bombowego pogłębiania oraz cyklolizy – zima. Okres 1958-2001

Faza rozwoju niżu	Max		Min	
	D_{NN}	D_{GRD}	D_{NN}	D_{GRD}
Każde wystąpienie	83,6	90,6	-50,1	-53,9
Cyklogeneza	83,6	90,6	-37,1	-38,5
Maksymalne pogłębianie	49,3	51,4	-13,9	-19,3
Bombowe pogłębianie	49,3	51,4	-9,4	-12,0
Cykloliza	42,8	46,8	-50,1	-53,9

Styl „tabela-komentarz” (objaśnienia do tabeli – pod tabelą)

font bezszeryfowy (Arial – 10 pkt), nie dziel akapitów, NIE zachowuj razem z następnym, odstęp „od góry” do „od dołu” jak 1:2 (np. 0,2cm / 0,4 cm), justowanie do lewej, jeżeli pod tabelą nie ma objaśnień, to powinien znajdować się pusty akapit sformatowany stylem „tabela-komentarz”.

Przykład:

Tabela 6.1

Odległość wzdłuż równoleżnika (X) oraz wzdłuż południka (Y) [km] pola podstawowego o maksymalnej średniej dywergencji (D_{MAX}) oraz pola o największej częstości maksimum górnej dywergencji (F_{MAX}) od centrum niżu. Środek niżu stanowi środek układu współrzędnych. Podano dodatkowo kierunki wskazujące położenie ww. maksimum względem centrum niżu

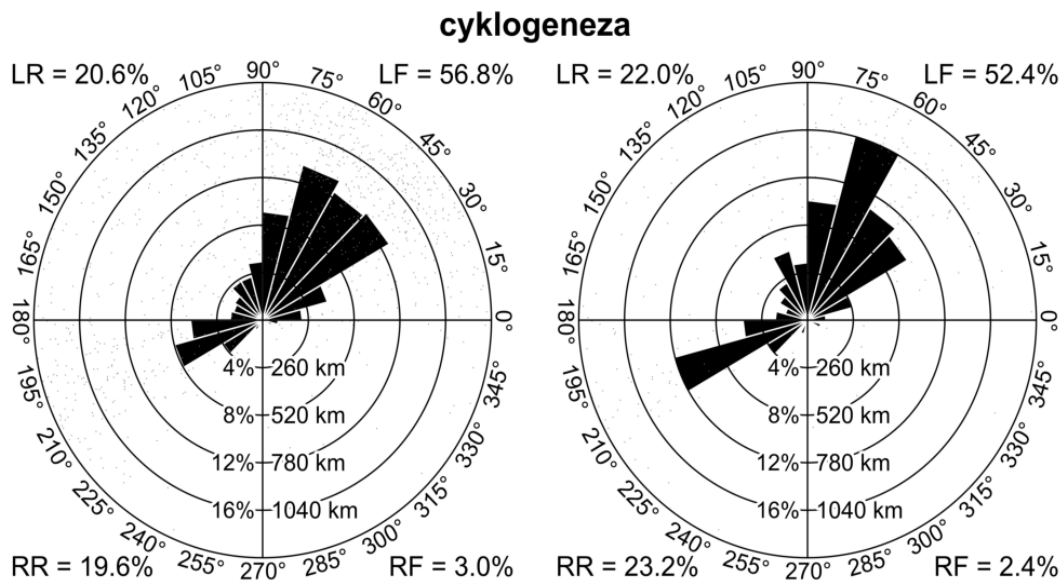
Statystyka	Pora roku	Fazy rozwoju niżu					
		Wszystkie wystąpienia		Cyklogeneza		Maksymalne pogłębianie	
D_{MAX}	zima	100 E	300 N	100 E	200 N	200 E	100 N
	wiosna	300 E	0 –	100 E	0 –	100 E	100 N
	lato	300 E	0 –	100 E	100 N	100 E	0 –
	jesień	300 E	0 –	100 E	100 N	200 E	100 N
F_{MAX}	zima	100 E	300 N	200 E	100 N	100 E	300 N
	wiosna	300 E	0 –	100 E	0 –	200 E	0 –
	lato	1000 E	800 S	200 E	200 S	300 E	0 –
	jesień	300 E	300 N	100 E	0 –	200 E	300 N

Objaśnienia: N oznacza na północ, S na południe, E na wschód od centrum niżu.

Styl „rysunek” (zakotwiczony jako znak)
wyjustowany do środka, razem z następnym akapitem.

Styl „rysunek-podpis” (podpis rysunku znajduje się pod rysunkiem!)
font bezszeryfowy (Arial – 10 pkt), nie dziel akapitów, **NIE** razem z następnym, odstęp „od góry” do „od dołu” jak 1:2 (np. 0,2cm / 0,4cm), automatyczna numeracja, zerowe wcięcie przed i po tekście, bez wcięcia akapitu, wyjustowany do lewej i prawej, ostatni wiersz do środka.

Przykład:



Rys. 5.7. Rozkład przestrzenny niżów doświadczających określonej fazy rozwojowej w układzie współrzędnych związanym z centrum *jet streak* na powierzchni 250 hPa. Uwzględniono wszystkie silne *jet streak* (lewy panel) oraz tylko quasi-prostoliniowe układy (prawy panel). Wektor wiatru w centrum *jet streak* zaczepiony jest w początku układu współrzędnych, a jego zwrot wyznacza wartość 0° na skali kątowej. Każda kropka wskazuje pozycję pojedynczego wystąpienia niżu. Wystąpienia niżów zliczono w 15° sektorach i przedstawiono na wykresie jako procent próby. Podano także skalę odległości niżów od środka *jet streak*. Zestawiono procentowe udziały niżów w kwadrantach *jet streak*. Jesień, okres 1958 - 2002